

ВИСОКОЧЕСТОТЕН ТРАНЗИСТОРЕН ИНВЕРТОР ЗА  
ЗАХРАНВАНЕ НА ЕЛЕКТРОТЕРМИЧНО УСТРОЙСТВО

асп.инж. Деян Тодоров Алексиев  
инж. Георги Пенчев Иванов  
инж. Стойко Тодоров Алексиев  
ВМЕИ -- Габрово

В практиката на индукционното нагряване се използват два частотни диапазона – средночестотен, включващ честотите до 10 kHz и високочестотен /радиочестотен/, към които се отнасят честотите от 70 kHz до няколко мегахерца. В средночестотния диапазон токозахранивящите източници са с относително големи мощности – от няколко десетки до стотици и хиляди киловата. Почти две десетилетия вече, откакто тези токоизточници се изпълняват като полупроводникови – тиристорни преобразуватели на честота. В радиочестотния диапазон се използват все още лампови генератори, мощността на които е от единици до десетки, максимум до 200-300 kW. При малките и средни мощности до 10-20 kW е оформена тенденция за преминаване към транзисторно изпълнение. Независимо от високите параметри на съвременните силови полупроводникови прибори /биполярни и MOS транзистори, IGBT прибори и др./ резултатите от транзисторирането на високочестотните захранващи източници за индукционно нагряване /ИН/ са ограничени. При обясненията на това обстоятелство се акцентува на по-голямата им сложност, по-високата цена и главното, на все още недостатъчната им надеждност.

В настоящата работа се изнасят някои резултати от изследванията на един тип маломощен резонансен инвертор /РИ/ в качеството му на високочестотен източник за ИН. В съответствие с някои специфични потребности на страната е избрана мощност  $0.5 \pm 2.5$  kW, честота – 100 kHz, товар във вид на малка индукционна пещ за топене на цветни метали. Изпълнението на РИ е с MOSFET транзистори и високочестотни диоди.

Разнообразието на РИ е систематизирано в [1,2,3,4,5]. Избран е инвертор с принудително изключване на приборите преди края на полупериода. Схемата е полумостова. Показана е на фиг.1, заедно със системата за управление в блоков вид. Времен-диаграмите на токовете и напреженията са представени на фиг.2. В съответствие с тях инверторът има следният алгоритъм на дейт-

ствие: транзисторите VT1 и VT2 се включват в началото на съответния полупериод при нулев ток, а се изключват с изпреварване  $t_0 = \pi - \lambda$  преди края на полупериода. В момент  $\theta = \lambda$  токът се прехвърля в противоположния диод на изключения транзистор /на пример от VT1 в VD2 или от VT2 в VD1/.

Теоритичното изследване на инвертора е извършено по метода на хармоничния анализ, съобразен с неговите специфични електромагнитни процеси и времедиаграми на токовете и напрежението. Трябва да се подчертава предварително, че в случая използването на хармоничния анализ по първата хармонична на променливото напрежение е в най-голяма степен практомерно, т.к. променливият ток и променливото напрежение са с форма по-близка до синусоидалната спрямо другите РИ. Действително, при изключването на тока на транзисторите преди края на полупериода се получава "свиране" на импулса на тока, при което той става равен на нула в моментите  $\pi$ ,  $2\pi$ , ...,  $n\pi$ , като се изрязва по този начин спадащият му участък с най-голямо затихване.

На фиг.2 за променливия ток с цифрата 1 е означен импулсът на тока, който би се получил, ако инверторът беше без обратни диоди и не се изключваше преди края на полупериода. С цифрата 2 е означен фактическият импулс на тока. В съответствие с това може да се твърди, че импулсът на тока през транзисторите е със честота на собствените колебания

$$\omega_{ck} = \frac{1}{T_{ck}} = 2\pi / T_{ck} < \omega_y, \quad (1)$$

т.е. отношението

$$\omega_{ck} / \omega_y = \pi / (\pi + t_0) < 1. \quad (2)$$

Изхождайки от фундаменталното съотношение за РИ [5]

$$\operatorname{tg}\delta > (\omega_{ck} / \omega_y) \operatorname{tg}\delta = (1.2 \div 1.5) (\omega_{ck} / \omega_y) \quad (3)$$

и задавайки си то

$$t_0 = (0.5 \div 0.8) t_o, \quad (4)$$

$/t_o$  е известно по задание/ може да се определи ъгъл  $\delta$ . След това се изчисляват ъгъл  $\varphi$  и напрежението  $U_f$  по формулите [5]:

$$\operatorname{tg}\varphi = 0.406 \operatorname{tg}\delta - \sqrt{0.165 \operatorname{tg}^2 \delta - 0.188} \quad (5)$$

$$U_f = \pi E / [2 \cos(\delta - \varphi)] \quad (6)$$

Понататък е лесно да се определят всички величини и елементи на инвертора:

- 1) По определения вече ъгъл  $\delta$  и известните параметри на този се изчислява [5] разстройката  $\zeta_0$  и еквивалентното съп-

ротивление  $R_e$  на товарния кръг:

$$\xi_0 = \sqrt{\operatorname{tg} \varphi / (\operatorname{tg} \varphi + \operatorname{tg} \psi)} / \sin \psi \quad (7)$$

$$R_e = \xi_0^2 \operatorname{ctg} \varphi / [(\xi_0^2 - 1)^2 + \operatorname{ctg}^2 \psi] \quad (8)$$

2) Определя се капацитетът  $C$  [5]

$$C = 1 / (\xi_0^2 \omega^2 L_t) \quad (9)$$

3) По честотата на собствените колебания  $\omega_{ck}$  [5]

$$\omega_{ck} = \sqrt{[1 / (L_k C_e)] - [R_e / (4 L_k^2)]}, \quad (10)$$

се определя комутиращата индуктивност  $L_k$ . В (10)  $C_e$  и  $R_e$  са съответно еквивалентният капацитет и еквивалентното съпротивление на товарния кръг при последователна заместваща схема.

4) Формира се уравнението на тока [5]

$$i(\theta) = E\theta / (\omega L_k) - U_r [\cos(\theta - \psi_f) - \cos(\theta - \psi_f - \theta)] \quad (11)$$

и се определят токовете в транзисторите и обратните диоди в съответствие с интервалите на тяхната работа.

Въз основа на аналитичните зависимости беше извършено проектирането на РИ със следните параметри:

Мощност	$P$	= 0.6	kW
Работна честота	$f$	= 100	Hz
Напрежение на товара	Uтеф	= 75	V
Фактор на мощността	$\cos \varphi_t$	= 0.113	

Получиха се следните данни:

Комутираща индуктивност	$L_k$	= 73.167 μH
Активно съпротивление на товара	$R_t$	= 1.6164 Ω
Индуктивност на товара	$L_t$	= 19.25 μH
Паралелен капацитет на товарния кръг	$C$	= 150.84 μF
Напрежение на товара	$U_t$	= 365.85 V
Ток през транзисторите	$I_{dm}$	= 8.25 A
Ток през обратните диоди	$I_{ao}$	= 0.6 A

$R_t$  и  $L_t$  са параметрите на товара, приведени на първичната страна на понижаващ трансформатор, а всички данни са получени, като е избран  $\operatorname{tg} \delta = 1.3$ .

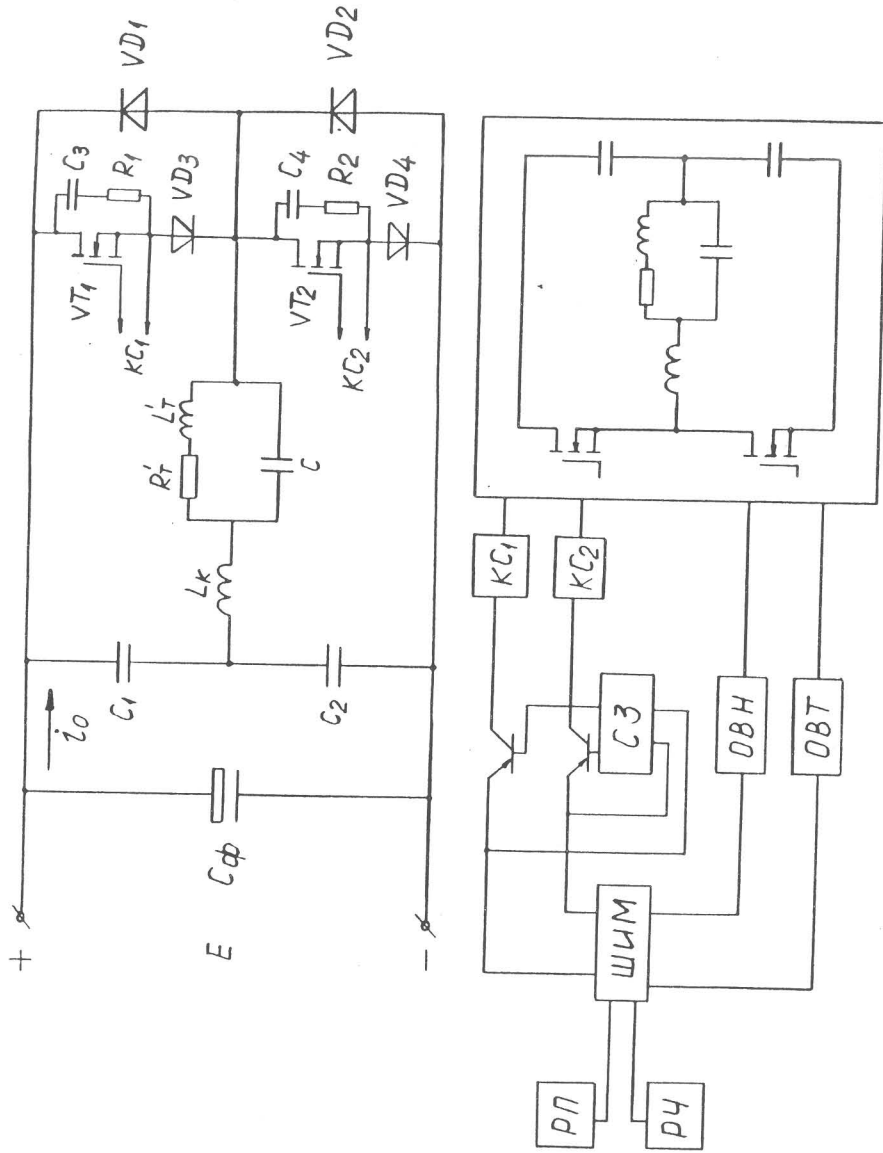
Компютърният експеримент на така оразмерения инвертор чрез програмната система SPICE потвърди с по-ти пълно съвпадение изчисленията елементи и величини, което може да се илюстрира с времедиаграмите, показани на фиг. 3.

Инверторът е изследван и чрез реален лабораторен модел, изпълнен въз основа на схемата, показана на фиг. 1. На фиг. 4 са показани заснетите от модела осцилографами, които до-

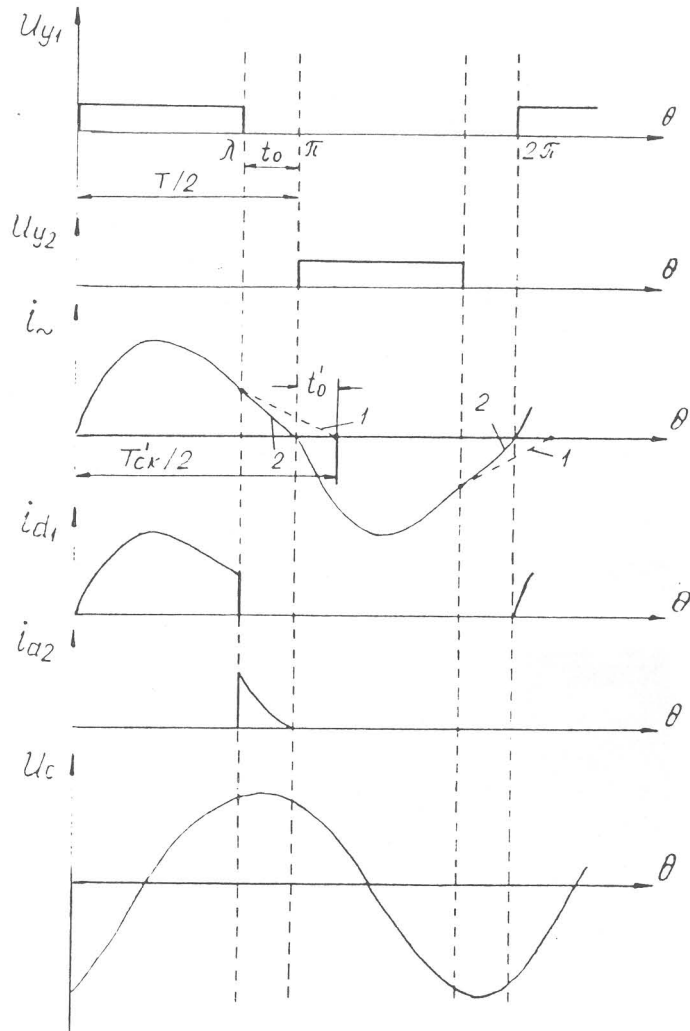
казват теоритичните постановки и изследвания.

Л И Т Е Р А Т У Р А :

1. Analysis and Design of a High-Frequency Parallel Resonant Converter Operating Above Resonance, A.K.S. Bhat, M.M. Swamy, IEEE Trans. Ind. Appl., 1988
2. Constant-frequency parallel resonant converter, Chin Yuan, Lee Fred C.Y., IEEE Trans. Ind. Appl., 1989
3. В.С.Руденко, В.И. Сенько, И.М. Чиженко, "Преобразувателна техника", Киев, 1978
4. Т.С. Тодоров, "Единен подход в анализа и проектирането на резонансни инвертори с различни схеми и начин на действие" /работата е поместена в настоящия сборник/
5. В.И. Сенько, Т.С.Тодоров, "Силови електронни устройства", Габрово, 1975



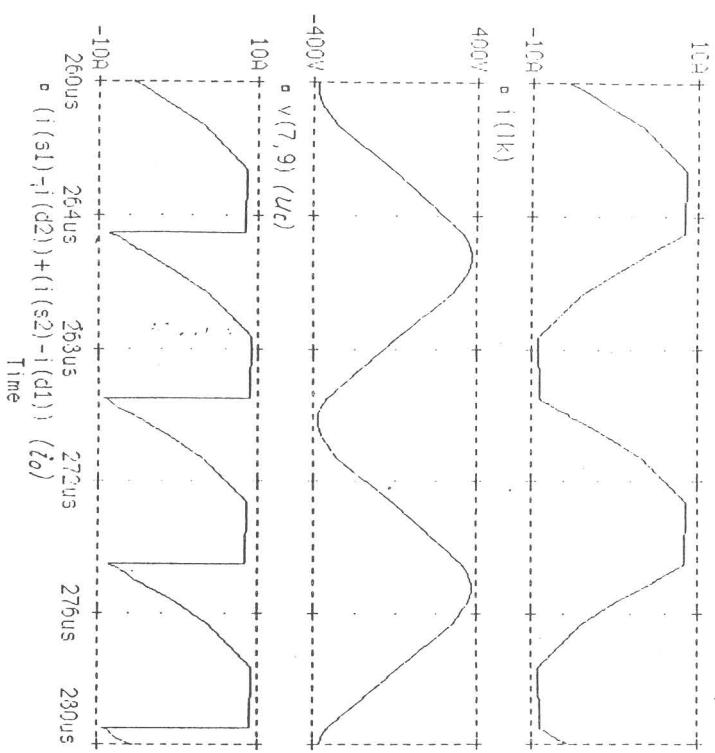
Фиг. 1



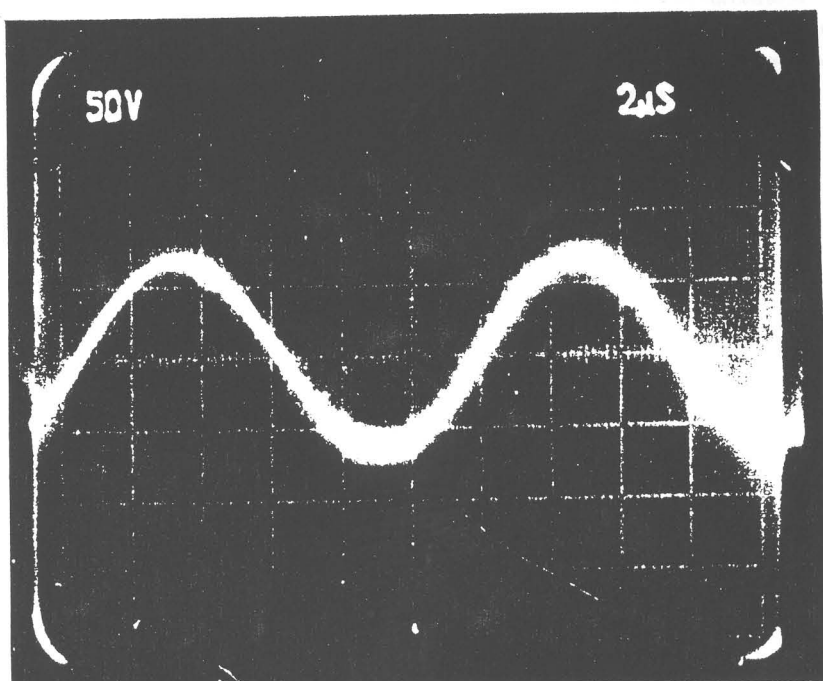
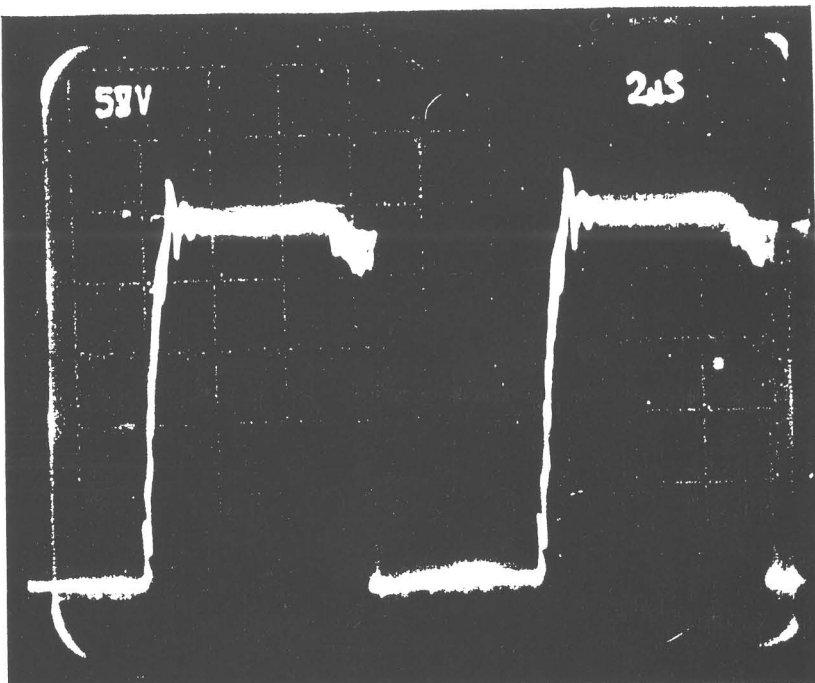
фиг. 2

резонанса инвертор 100кГц

Date/Time run: 03/01/151 06:45:20 Temperature: 27.0



Фиг. 3



$U_{c/3}$

фиг. 4

- 49 -